

## Энергетика

УДК 536. 2 (075): 517.958

### ИССЛЕДОВАНИЕ ТЕМПЕРАТУРНОГО И ТЕРМОНАПРЯЖЕННОГО СОСТОЯНИЯ БАРАБАНОВ КОТЛОВ ТЕПЛОВЫХ ЭЛЕКТРИЧЕСКИХ СТАНЦИЙ

*С.В. Колесников, А.Э. Кузнецова, Е.В. Стефанюк, А.Н. Бранфилева,  
Л.С. Абшиева*

Самарский государственный технический университет  
443100, г. Самара, ул. Молодогвардейская, 244

*Представлены результаты исследований температурного и термонапряженного состояния барабанов паровых котлов в зоне отверстий для присоединения экранных труб.*

**Ключевые слова:** температурные напряжения, барабаны паровых котлов, тепловые электрические станции, метод конечных элементов.

В процессах пусков и остановов в элементах паровых котлов возникают температурные градиенты, обусловливающие появление температурных напряжений. В случаях, когда напряжения превышают предел прочности для данного материала, происходит возникновение трещин. Применительно к барабанам котлов появлению трещин способствует наличие отверстий (для крепления экранных труб), являющихся концентраторами напряжений. При этом особенно опасным является переохлаждение воды в барабане, возникающее в процессах планового или аварийного сброса давления, при котором в охлаждающихся поверхностях отверстий появляются температурные напряжения. Для их определения необходимо иметь распределение температуры в материале барабана вблизи отверстий, определение которой возможно лишь при известной величине коэффициента теплоотдачи на внутренней поверхности стенки барабана. В работе [1] величина этого коэффициента была найдена из решения обратной задачи теплопроводности, которая оказалась равной  $\alpha = 470 \text{ Bm}/(\text{m}^2 \cdot \text{K})$ .

Однако для оценки градиента температур в отверстиях барабанов котлов необходимо знать коэффициенты теплоотдачи не только на внутренней поверхности, но и в отверстиях барабанов, скорость течения воды в которых составляет около  $2 \text{ м}/\text{s}$ .

Для расчета коэффициентов теплоотдачи в отверстиях барабанов котлов используем следующие исходные данные:

---

Сергей Владимирович Колесников (к.т.н.), докторант.

Анастасия Эдуардовна Кузнецова, аспирант.

Екатерина Васильевна Стефанюк (д.т.н., доц.), доцент кафедры «Теоретические основы теплотехники и гидромеханика».

Любовь Сергеевна Абшиева, аспирант.

$$t_{жc} = 316^{\circ}C; t_{cr} = 340^{\circ}C; v_{жc} = 0,128 \cdot 10^{-6} m^2/c; v_{жc} = 2 m/c;$$

$$\lambda_{жc} = 0,513 Bm/(m \cdot K); d = 0,05 m; a = 0,122 \cdot 10^{-6} m^2/c,$$

где  $t_{жc}$  – температура воды в барабане;

$t_{cr}$  – температура стенки барабана в отверстиях;

$v_{жc}$  – кинематический коэффициент вязкости жидкости;

$\lambda_{жc}$  – коэффициент теплопроводности жидкости;

$v_{жc}$  – скорость течения жидкости в отверстиях барабана;

$d$  – диаметр отверстия;

$a$  – коэффициент температуропроводности жидкости.

Определяющее критериальное уравнение в данном случае имеет вид [2]

$$Nu = 0,021 Re^{0,8} Pr_{жc}^{0,43} (Pr_{жc}/Pr_c)^{0,25} \varepsilon_e, \quad (1)$$

где  $Nu = \alpha d / \lambda_{жc}$  – число Нуссельта;

$Re = v_{жc} d / v_{жc}$  – число Рейнольдса;

$Pr_{жc} = v_{жc} / a_{жc}$  – число Прандтля в потоке;

$Pr_c = v_c / a_c$  – число Прандтля при коэффициенте вязкости  $v_c$  и коэффициенте температуропроводности жидкости  $a_c$  вблизи стенки;

$\varepsilon_e$  – коэффициент, учитывающий изменение среднего коэффициента теплоотдачи по длине  $l$  отверстия.

Если  $l/d > 50$ , то  $\varepsilon_e = 1$ ; если  $l/d < 50$ , то  $\varepsilon_e = 1$ . Так как  $l = 12 cm$  и  $d = 5 cm$ , то при  $Re = 2 \cdot 0,05 / 0,128 \cdot 10^{-6} = 12800$   $\varepsilon_e = 1,28$  [2].

Подставляя в (1) принятые и расчетные исходные данные, положив  $Pr_{жc}/Pr_c \approx 1$ , получаем  $Nu = 1437,76$ . Отсюда

$$\alpha = Nu \lambda_{жc} / d = 14751 Bm/(m^2 \cdot K).$$

Найденные значения коэффициентов теплоотдачи были использованы для определения температурного состояния стенки барабана парового котла (рис. 1–3).

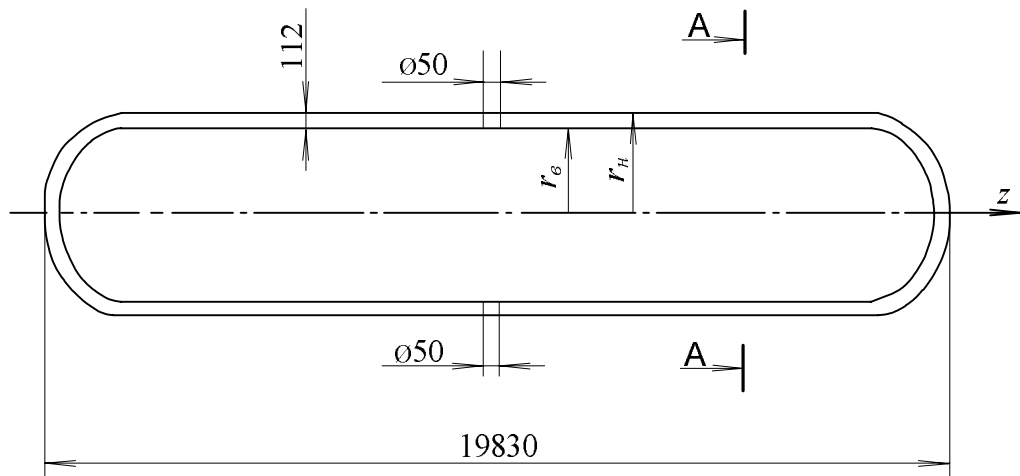


Рис. 1. Схема барабана парового котла (размеры в мм)

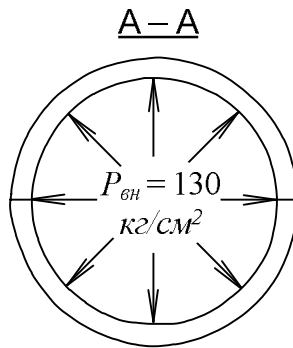


Рис. 2. Сечение барабана котла

На напряженное состояние барабана котла существенное влияние могут оказывать силы внутреннего давления. Используемая здесь методика позволяет производить расчет напряжений и перемещений цилиндров, нагруженных постоянным по длине наружным и внутренним давлением. Применимельно к барабану котла приводимые ниже формулы будут справедливы лишь для центральной его части. Вследствие осевой симметрии нагрузки, напряжения и деформации также будут симметричны относительно оси барабана и постоянны по его длине.

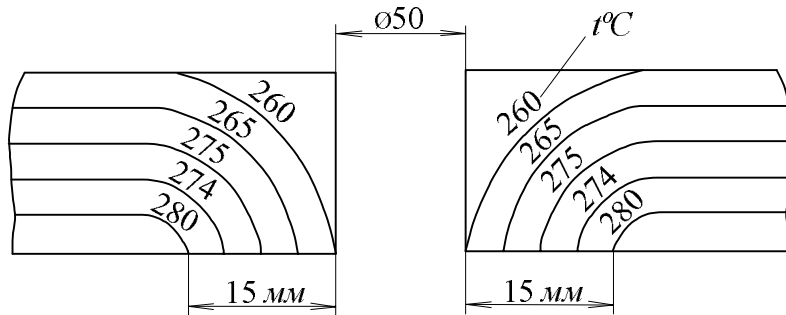


Рис. 3. Изменение температуры в отверстии и по толщине стенки барабана,  $t^{\circ}\text{C}$ ; размеры в  $\text{мм}$

Формулы для определения напряжений имеют вид [3]

$$\sigma_{\theta} = \frac{P_{\theta} r_{\theta}^2 - P_{\theta} r_h^2}{r_h^2 - r_{\theta}^2} + \frac{(P_{\theta} - P_h) r_{\theta}^2 r_h^2}{(r_h^2 - r_{\theta}^2) \rho^2}; \quad (2)$$

$$\sigma_r = \frac{P_{\theta} r_{\theta}^2 - P_h r_h^2}{r_h^2 - r_{\theta}^2} - \frac{(P_{\theta} - P_h) r_{\theta}^2 r_h^2}{(r_h^2 - r_{\theta}^2) \rho^2}; \quad (3)$$

$$\sigma_z = \frac{P_{\theta} r_{\theta}^2 - P_h r_h^2}{r_h^2 - r_{\theta}^2}, \quad (4)$$

где  $\sigma_r$  – нормальное радиальное напряжение;

$\sigma_{\theta}$  – окружное напряжение;

$\sigma_z$  – осевое напряжение;

$P_b$ ,  $P_h$  – внутреннее и наружное давление;

$r_b$ ,  $r_h$  – внутренний и наружный радиусы;

$\rho$  – текущий радиус (см. рис. 1).

Радиальное перемещение  $U$  определяется по формуле

$$U = \frac{P_b r_b^2 - P_h r_h^2}{r_h^2 - r_b^2} \cdot \frac{(1-\nu)\rho}{E} + \frac{(P_b - P_h)r_b^2 r_h^2}{(r_h^2 - r_b^2)\rho} \cdot \frac{(1-\nu)}{E}, \quad (5)$$

где  $\nu$  – коэффициент Пуассона;

$E$  – модуль упругости.

Исходные данные для расчета были следующие:  $P_b = 130 \text{ кг}/\text{см}^2$ ;  $r_b = 130 \text{ мм}$ ;  $\nu = 0,25$ ;  $P_h = 1 \text{ кг}/\text{см}^2$ ;  $r_h = 1412 \text{ мм}$ ;  $E = 16000 \text{ кг}/\text{мм}^2$ .

Радиальные напряжения  $\sigma_r$  внутри и снаружи принимают соответственно значения  $\sigma_{r_b} = -130 \text{ кг}/\text{см}^2 = -1,3 \text{ кг}/\text{мм}^2$ ;  $\sigma_{r_h} = -1 \text{ кг}/\text{см}^2 = -0,01 \text{ кг}/\text{мм}^2$ . Таким образом, по формуле (3) напряжения на внутренней и внешней поверхности барабана совпадают с заданными на этих поверхностях давлениями. Знаки напряжений отрицательные, что означает сжатие.

Окружное напряжение  $\sigma_\theta$ , найденное по формуле (2), для внутренней и наружной поверхности барабана принимает следующие значения:  $\sigma_{\theta_b} = -12,6 \text{ кг}/\text{мм}^2$ ;  $\sigma_{\theta_h} = -10,6 \text{ кг}/\text{мм}^2$ . Знаки напряжений положительные, то есть имеет место растяжение. Эпюра окружных напряжений приведена на рис. 4.

Осевое напряжение  $\sigma_z = 5,6 \text{ кг}/\text{мм}^2$  имеет одинаковое значение по толщине стенки барабана. Радиальное перемещение согласно формуле (5) при  $\rho = r_h$  составляет  $U_{rh} = 0,58 \text{ мм}$ .

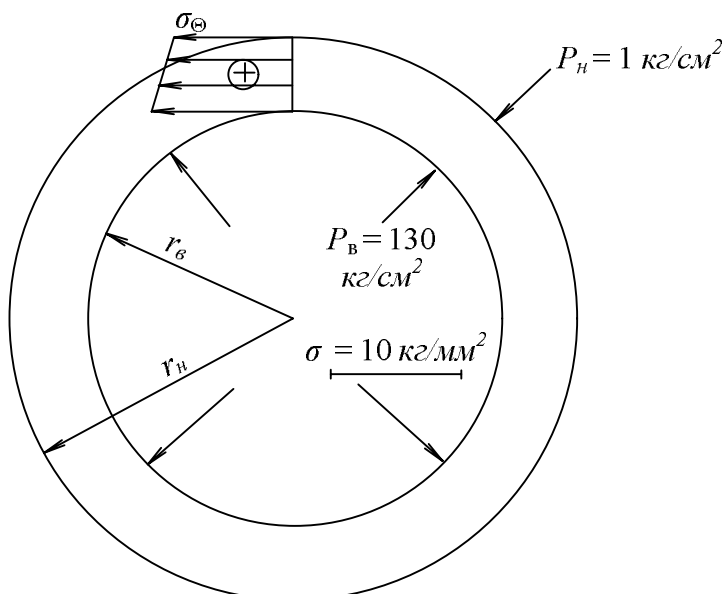


Рис. 4. Эпюра окружных напряжений  $\sigma_\theta$  в поперечном сечении барабана, возникающих от действия сил внутреннего давления

Представленные в настоящей работе исследования показали, что наиболее неблагоприятной по напряженному состоянию зоной является область присоединения трубы к барабану котла. В этой зоне имеется отверстие в его стенке. Любое отверстие, как известно, является концентратором напряжений.

Напряженное состояние в зоне отверстия барабана усугубляется еще и тем, что он находится под большим внутренним давлением. Расчеты, представленные выше, показывают, что под действием сил внутреннего давления в сплошном барабане максимальных значений достигают окружные напряжения растяжения  $\sigma_{\theta\theta} = -12,6 \text{ кг}/\text{мм}^2$  (см. рис. 4). Причем эти напряжения найдены из условия отсутствия отверстий в барабане. При наличии отверстий характер напряжений от действия сил давления существенно видоизменяется. Подробнее результаты исследований с использованием метода конечных элементов [4–6] и программы NASTRAN представлены ниже.

Программа NASTRAN достаточно эффективна при расчетах напряженно-деформированного состояния конструкций с использованием метода конечных элементов. Эта программа в сочетании с возможностями современной вычислительной техники позволяет проводить расчеты термонапряженного состояния барабана с одновременным учетом большого числа факторов (внутреннее давление в барабане, собственный вес и вес воды в нем, градиенты температуры между верхом и низом барабана, градиенты температуры по толщине стенки барабана и в его отверстиях) в трехмерной постановке.

Ниже будут представлены результаты расчетов напряженно-деформированного состояния с одновременным учетом всех перечисленных выше факторов, а также с учетом каждого из этих факторов в отдельности. Исходные данные для расчетов были следующие:

$$\alpha' = 0,000014/K; E = 16000 \text{ кг}/\text{мм}^2; \nu = 0,3; p_{\text{вн}} = 130 \text{ кг}/\text{см}^2,$$

где  $\alpha'$  – коэффициент линейного расширения;

$E$  – модуль упругости 1-го рода (модуль Юнга);

$\nu$  – коэффициент Пуассона;

$p_{\text{вн}}$  – внутреннее давление пара.

Рассмотрим напряжено-деформированное состояние барабана для случая, когда перепад температуры между верхней и нижней частью барабана составляет 40 °C.

Такое температурное состояние может возникать, когда при плановом или аварийном сбросе давления в барабане температура воды в нем может понизиться на несколько десятков градусов. Ввиду достаточно высоких коэффициентов теплоотдачи ( $470 \text{ Вт}/(\text{м}^2 \cdot \text{К})$  на внутренней поверхности барабана и  $1451 \text{ Вт}/(\text{м}^2 \cdot \text{К})$  в отверстиях) нижняя часть барабана в течение нескольких десятков секунд охлаждается до температуры жидкости в барабане, тогда как верхняя в течение определенного времени остается при прежней температуре. Такой перекос температуры между верхом и низом приводит к тому, что барабан изгибаются выпуклостью вверх, усиливая тем самым его напряженное состояние.

Проведем детальное исследование напряжено-деформированного состояния барабана при градиенте температур между верхом и низом. Но прежде чем рассматривать этот вариант, проанализируем сначала деформацию барабана в случае, когда он нагрет до одинаковой температуры  $t = 320^\circ\text{C}$ . Из анализа результатов сле-

дует, что в осевом направлении барабан увеличивается по длине на 4,69 см . При этом диаметр барабана увеличивается на 4,8 мм .

Анализ перемещений барабана для случая, когда перепад температуры между его верхом и низом составляет  $\Delta t = 40^{\circ}\text{C}$  , показывает что барабан изгибаются выпуклостью вверх, причем высота «горба» составляет 8,81мм .

Прежде чем переходить к оценке термоапряженного состояния барабана, рассмотрим влияние внутреннего давления пара  $p = 130 \text{ кг}/\text{см}^2$  на распределение напряжений в отверстиях барабанов. Согласно расчетам по формуле (2) под действием одних только сил внутреннего давления окружные напряжения достигают  $\sigma_{\theta} = 12,6 \text{ кг}/\text{мм}^2$  . Как показали расчеты по методу конечных элементов, в отверстиях барабанов величина окружных напряжений составляет  $\sigma_{\theta} = 26,75 \text{ кг}/\text{мм}^2$  , то есть они возрастают на  $14 \text{ кг}/\text{мм}^2$  . Это можно объяснить тем, что отверстие является концентратором напряжений. Достаточно больших величин от сил внутреннего давления в отверстиях барабанов котлов достигают и напряжения по оси  $z$  ( $\sigma_z = 16,32 \text{ кг}/\text{мм}^2$  ).

Рассмотрим распределение напряжений для случая, когда вместе с внутренним давлением действует градиент температуры в отверстии, при этом температура по толщине стенки принимается неизменной. Перепад температуры в отверстии составляет  $\Delta t = 15^{\circ}\text{C}$  на расстоянии 15 см от кромки отверстия. Анализ результатов расчетов позволяет заключить, что величина окружных напряжений растяжения достигает  $33,35 \text{ кг}/\text{мм}^2$  . Следовательно, прибавка окружных напряжений по сравнению со случаем отсутствия градиента температуры в отверстиях составляет  $\Delta\sigma_{\theta} = 33,35 - 26,75 = 6,6 \text{ кг}/\text{мм}^2$  . Отметим, что предел прочности на растяжение для данного материала составляет  $\sigma_e = 35 \text{ кг}/\text{мм}^2$  . Оценка напряжений в зоне, где отверстия в барабане отсутствуют, показывает, что  $\sigma_{\theta} = 12 \text{ кг}/\text{мм}^2$  . Полученные по методу конечных элементов значения  $\sigma_{\theta}$  хорошо согласуются с величиной напряжений  $\sigma_{\theta} = 12,6 \text{ кг}/\text{мм}^2$  , найденных по формуле (2).

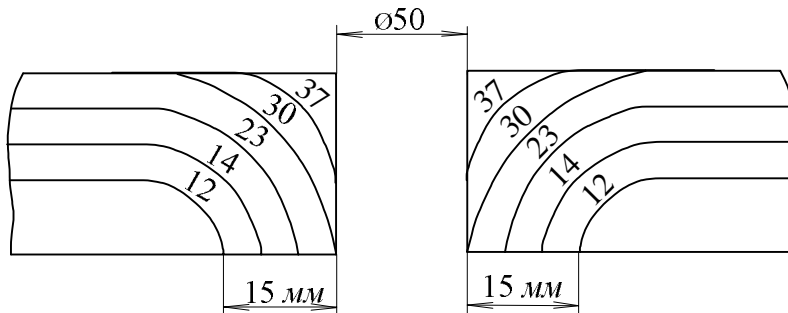


Рис. 5. Распределение окружных напряжений ( $\sigma_{\theta}$ ,  $\text{кг}/\text{мм}^2$ ) в отверстии барабана парового котла

При возрастании градиента температуры в отверстиях с 15 до  $30^{\circ}\text{C}$  окружные напряжения возрастают до  $\sigma_{\theta} = 37,55 \text{ кг}/\text{мм}^2$  , что уже выше предела прочности для данного материала (рис. 5). В случае, когда наряду с перепадом температуры по толщине стенки барабана около  $20^{\circ}\text{C}$  учитывается перепад температуры в отвер-

стии (около  $30^{\circ}\text{C}$  на расстоянии  $15\text{ см}$  от кромки отверстия), величина окружных напряжений в отверстиях с учетом внутреннего давления существенно превышает предел прочности для данного материала и приближается к величине  $\sigma_{\theta} \approx 43\text{ кг}/\text{мм}^2$ . В настоящей работе проведено также исследование влияния собственного веса барабана (около  $30\text{ т}$ ) и веса воды в нем (около  $7\text{ т}$ ) на напряженное состояние конструкции. Анализ расчетов показал, что это влияние незначительно. Например, наиболее опасные окружные напряжения возрастают лишь на  $1-1,5\text{ кг}/\text{мм}^2$ .

#### БИБЛИОГРАФИЧЕСКИЙ СПИСОК

1. Кудинов В.А., Карташов Э.М., Калашников В.В. Аналитические решения задач тепломассопереноса и термоупругости для многослойных конструкций. – М.: Высшая школа, 2005. – 430 с.
2. Михеев М.А., Михеева И.М. Основы теплопередачи. – М.: Энергия, 1977. – 344 с.
3. Рудицын М.Н., Артемов П.Я., Любощиц М.И. Справочное пособие по сопротивлению материалов. – Минск: Высшая школа, 1970. – 628 с.
4. Постнов В.А., Хархурим И.Я. Метод конечных элементов в расчетах судовых конструкций. – М.: Судостроение, 1974. – 342 с.
5. Зенкевич О. Метод конечных элементов в технике. – М.: Мир, 1975. – 541 с.
6. Сегерлинд Л. Применение метода конечных элементов. – М.: Мир, 1981. – 304 с.

*Статья поступила в редакцию 12 сентября 2013 г.*

## INVESTIGATION OF TEMPERATURE AND THERMAL STRESS STATE OF BOILER DRUMS HEAT POWER PLANTS

**S.V. Kolesnikov, A.E. Kuznetsova, E.V. Stefanuk, A.N. Branfileva, L.S. Abisheva**

Samara State Technical University  
244, Molodogvardeyskaya st., Samara, 443100

*The results of investigations of temperature and thermal stress state of boiler steam drum in the area of the holes for accession furnace tubes are provided.*

**Keywords:** thermal stresses, the drums of steam boilers, thermal power plants, the finite element method.

---

*Sergey V. Kolesnikov (Ph.D. (Techn.)), Doctoral Candidate.*

*Anastasiya E. Kuznetsova, Postgraduate Student.*

*Ekaterina V. Stefanuk (Dr. Sci. (Techn.)), Associate Professor.*

*Anastasiya N. Branfileva, Postgraduate Student.*

*Lubov S. Abisheva, Postgraduate Student.*